

УДК 624.07:534.1

© 1998 г. Р. А. САИДОВА, М. ЭРГАШОВ

## УДАР КЛИНОМ ПО ГИБКОЙ НИТИ

Вопросы исследования процессов распространения волн и решения краевых задач о соударении гибкой нити с твердыми телами, имеющими различные геометрические формы, рассматривались, например в [1–7]. В [1–2] приведена постановка и методика численного решения задач о косом и нормальном поперечном ударе точкой, движущейся с постоянной скоростью, по гибкой нити

В публикуемой работе предлагается удобное для теоретического анализа решение задач о косом и нормальном поперечном ударе острым концом клинка (точкой), движущимся с постоянной скоростью, по линейно-упругой нити. Рассматриваются задачи о косом и нормальном поперечном ударе острым концом клина, движущимся с кусочно-постоянной (скачкообразно меняющейся) скоростью, по линейно-упругой нити.

**1. Косой удар клином по нити со скольжением.** Пусть при  $t \geq 0$  произведен поперечный удар острым концом клина (точкой), движущимся с постоянной скоростью  $v_2$ , по горизонтальной и бесконечно длинной гибкой нити. Скорость  $v_2$  образует постоянный угол  $\beta$  с нормалью к нити (фиг. 1). В результате в нити возникают продольные  $A_1, A'_1$  и поперечные  $B_2, B'_1$  волны. Указанными волнами и фронтом стационарного разрыва нить разбивается на шесть областей. Области  $O$  и  $O'$  являются областями покоя без начальной деформации.

Предположим, что на фронте стационарного разрыва  $C$  трение отсутствует и в каждый момент времени происходит относительное скольжение нити из области  $2'$  в область 2, как через подвижный блок [3–7]. На фронтах поперечных волн  $B_2$  и  $B'_2$  деформация не терпит разрыва [1–2]. Поэтому возмущенные действием удара области 1–2 и 1'–2' являются областями постоянных параметров.

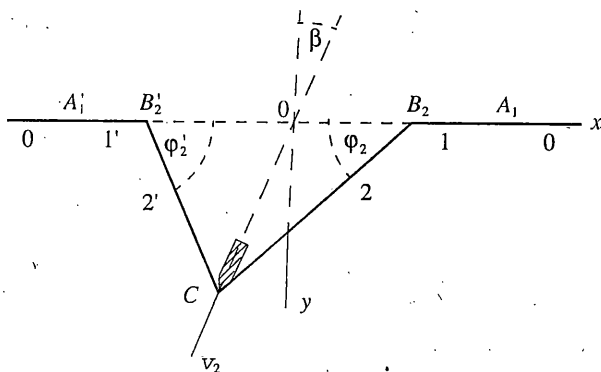
Пусть  $x'$  и  $y'$  – составляющие скорости частиц нити на оси  $Ox$  и  $Oy$  соответственно,  $\varphi$  – угол между нитью и осью  $Ox$ ,  $\varepsilon$  – относительная деформация. Неизвестные параметры движения будем снабжать соответствующими принятой нумерации рассматриваемых областей нити индексами.

Предположим, что при  $t \geq \tau_{i+2}$  происходит скачкообразное возрастание скорости движения клина на величины

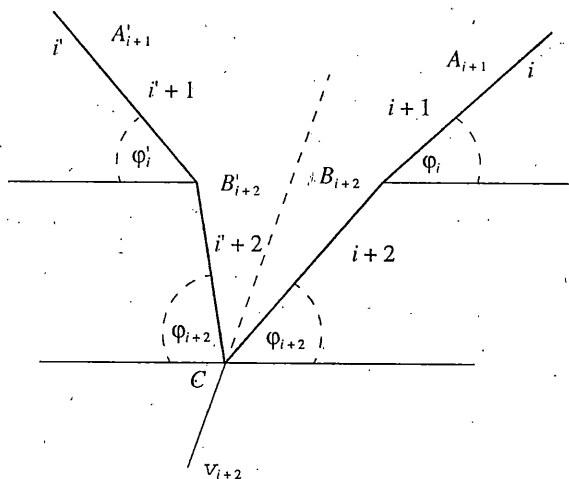
$\Delta v_{i+2, i} = v_{i+2} - v_i > 0$ . Здесь и дальше  $i = 2, 4, 6, \dots$  – количество скачкообразного возрастания скорости движения клина в данный момент времени.

При изменении  $t$  от 0 до  $t \geq \tau_{i+2}$  в нити последовательно возникают продольные  $A_1, A'_1, A_3, A'_3, A_5, A'_5, \dots, A_{i+1}, A'_{i+1}$  и поперечные  $B_2, B'_2, B_4, B'_4, \dots, B_{i+2}, B'_{i+2}$  волны (фиг. 1, 2). При этом в правой и левой части нити образуется  $2(i+1)$  изломов с соответствующими углами  $\varphi_2, \varphi_4, \varphi_6, \dots, \varphi_{i+2}$  и  $\varphi'_2, \varphi'_4, \varphi'_6, \dots, \varphi'_{i+2}$ .

Предположим, что скорости удара  $v_2, v_4, \dots, v_{i+2}$  – постоянные величины и при  $t \geq \tau_{i+2}$  деформация не достигает предела пропорциональности материала нити. При



Фиг. 1



Фиг. 2

этом возмущенные области  $i + 1$ ,  $i' + 1$  и  $i + 2$ ,  $i' + 2$  нити являются областями постоянных параметров и имеют одинаковую упругую деформацию  $\epsilon_{i+2}$  (фиг. 2).

Известно [1–5], что упругая продольная волна вдоль нити распространяется со значительной большей скоростью, чем поперечная волна излома и на различных участках нити продольные волны могут догнать и взаимодействовать с поперечными волнами. Ниже предполагается, что в рассматриваемых областях  $i + 1$ ,  $i + 2$  и  $i' + 1$ ,  $i' + 2$  взаимодействия продольных и поперечных волн не происходит.

Предположим, что параметры движения областей  $i - 1$ ,  $i$  и  $i' - 1$ ,  $i'$  (фиг. 2) нити известны, а параметры областей  $i + 1$ ,  $i + 2$  и  $i' + 1$ ,  $i' + 2$  подлежат определению.

На фронтах волн  $A_{i+1}$ ,  $B_{i+2}$  и  $A'_{i+1}$ ,  $B'_{i+2}$  имеем соответственно [1–5]:

$$x'_{i+1} - x'_i = a(\epsilon_i - \epsilon_{i+2}) \cos \varphi_i$$

$$y_{i+1} - y_i = a(\epsilon_{i+2} - \epsilon_i) \sin \varphi_i$$

$$x'_{i+2} - x'_{i+1} = a\lambda_{i+2}(\cos \varphi_i - \cos \varphi_{i+2})$$

(1.1)

$$y'_{i+2} - y'_{i+1} = a\lambda_{i+2}(\sin\varphi'_{i+2} - \sin\varphi_i), \quad \lambda_{i+2} = [\varepsilon_{i+2}(1 + \varepsilon_{i+2})]^{\frac{1}{2}}$$

$$x'_{i+1} - x'_i = a(\varepsilon_{i+2} - \varepsilon_i)\cos\varphi'_i$$

$$y'_{i+1} - y'_i = a(\varepsilon_{i+2} - \varepsilon_i)\sin\varphi'_i \quad (1.2)$$

$$x'_{i+2} - x'_{i+1} = a\lambda_{i+2}(\cos\varphi'_{i+2} - \cos\varphi'_i)$$

$$y'_{i+2} - y'_{i+1} = a\lambda_{i+2}(\sin\varphi'_{i+2} - \sin\varphi'_i)$$

В точке  $C$  имеют место следующие кинематические условия:

$$y'_{i+2}dt = v_{i+2}\cos\beta dt - \sin\varphi'_{i+2}ds_{i+2}$$

$$x'_{i+2}dt = \cos\varphi'_{i+2}ds_{i+2} - v_{i+2}\sin\beta dt$$

$$y'_{i+2}dt = v_{i+2}\cos\beta dt + \sin\varphi'_{i+2}ds_{i+2}$$

$$x'_{i+2}dt = \cos\varphi'_{i+2}ds_{i+2} - v_{i+2}\sin\beta dt$$

(1.3)

Уравнения (1.1)–(1.3) образуют замкнутую систему для определения  $x'_{i+1}$ ,  $\varepsilon_{i+2}$ ,

$y'_{i+2}$ ,  $x'_{i+2}$ ,  $y_{i+2}$ ,  $y_{i+1}$ ,  $x'_{i+1}$ ,  $y'_{i+1}$ ,  $x'_{i+2}$ ,  $y'_{i+2}$ ,  $\varphi'_{i+2}$ ,  $ds_{i+2}$ .

Исключая неизвестные скорости и  $ds_{i+2}$  уравнения (1.1)–(1.3) приводим к виду

$$v_{i+2}\cos(\varphi_{i+2} + \beta) - (\lambda_i - \varepsilon_i)\sin\varphi'_{i+2} = \eta_{i+2,i}\theta_{i+2,i} \quad (1.4)$$

$$v_{i+2}\cos(\varphi'_{i+2} - \beta) - (\lambda_i - \varepsilon_i)\sin\varphi'_{i+2} = \eta_{i+2,i}\theta'_{i+2,i} \quad (1.5)$$

$$\eta_{i+2,i}H_{i+2,i} + v_{i+2}\gamma_{i+2}\cos\beta = 2\lambda_{i+2}\sin\varphi'_{i+2}\sin\varphi_{i+2}$$

$$\eta_{i+2,i} = \lambda_{i+2} - \varepsilon_{i+2} - \lambda_i - \varepsilon_i$$

$$\theta_{i+2,i} = \sin(\varphi_{i+2} - \varphi_i), \quad \theta'_{i+2,i} = \sin(\varphi'_{i+2} - \varphi'_i) \quad (1.6)$$

$$\gamma_{i+2} = \sin\varphi'_{i+2} + \sin\varphi_{i+2}$$

$$H_{i+2,i} = \sin\varphi_i\sin\varphi'_{i+2} + \sin\varphi'_i\sin\varphi_{i+2}$$

Здесь и в дальнейшем через  $v_{i+2}$  обозначена безразмерная величина  $v_{i+2}/a$ .

Трансцендентные уравнения (1.4)–(1.6) служат для определения  $\varepsilon_{i+2}$ ,  $\varphi_{i+2}$  и  $\varphi'_{i+2}$ . Дальнейшее решение уравнений (1.4)–(1.6) удобно проводить с помощью численных методов.

**2. Частные случаи.** При  $\beta = 0$  задаче является симметричной относительно вертикальной оси и скольжение нити по кромке клина отсутствует. Подставляя  $ds_{i+2} = 0$ ,  $\beta = 0$ , из уравнения (1.3) найдем

$$y'_{i+2} = y'_{i+2} = v_{i+2}, \quad x'_{i+2} = x'_{i+2} = 0 \quad (2.1)$$

Аналогичные условия

$$y'_i = y'_i = v_i, \quad x'_i = x'_i = 0 \quad (2.2)$$

имеют место в областях  $i$  и  $i'$ .

$\beta$	$i$	$\varphi_{i+2}$	$\varphi'_{i+2}$	$v_{i+2}$	$\varepsilon_{i+2}$
10°	0	5°	5°12'	0.0003528	0.0000154
	2	10°	10°30'	0.0033877	0.0014036
	4	15°	16°06'	0.0078028	0.0021616
	6	20°	22°00'	0.0133638	0.0030853
	8	25°	28°12'	0.0214661	0.0059149
	10	30°	34°30'	0.0337364	0.0120760
20°	0	5°	5°18'	0.0003891	0.0000165
	2	10°	11°00'	0.0036342	0.0014113
	4	15°	17°30'	0.0088164	0.0023302
	6	20°	24°42'	0.0155483	0.0033858
	8	25°	32°42'	0.0245403	0.0050478
	10	30°	41°00'	0.0393307	0.0117182
30°	0	5°	5°36'	0.0004482	0.0000179
	2	10°	11°48'	0.0041770	0.0014203
	4	15°	19°18'	0.0102987	0.0024096
	6	20°	28°30'	0.0191822	0.0039798
	8	25°	39°18'	0.0325038	0.0069809
	10	30°	50°42'	0.0591972	0.0232786

При этом уравнения (1.1)–(1.2) имеют следующее аналитическое решение

$$v_{i+2} = v_i + (1 + 2\varepsilon_i)\theta_{i+2,i}\alpha_{i+2,i}\mu_{i+2,i} \pm \theta_{i+2,i}\mu_{i+2,i}[(1 + 2\varepsilon_i)\alpha_{i+2,i} + 2\lambda_i\mu_{i+2,i}^{-1}] \quad (2.3)$$

$$\varepsilon_{i+2} = \varepsilon_i + \left[ \pm(\theta_{i+2,i} + 4A_{i+2,i}^2)^{\frac{1}{2}} - (1 + 2\varepsilon_i)\theta_{i+2,i} \right] (2\theta_{i+2,i})^{-1}$$

$$A_{i+2,i} = (v_{i+2} - v_i) \cos \varphi_i, \quad \alpha_{i+2,i} = \cos \varphi_i - \cos \varphi_{i+2} \quad (2.4)$$

$$\mu_{i+2,i} = [2 \cos \varphi_{i+2} (2 \cos \varphi_i - \cos \varphi_{i+2})]^{-1}$$

Уравнения (2.3), (2.4) представляют собой обратное решение задачи (заданная скорость движения клина  $v_{i+2}$  выражена через параметр  $\varphi_{i+2}$ ).

Заметим, что в рассматриваемом случае возникающие в нити продольные и поперечные волны являются волнами нагрузки и для любого  $\Delta t_{i+2,i} > 0$  и  $\Delta v_{i+2,i} > 0$  требуется выполнение следующих условий:  $\Delta \varepsilon_{i+2,i} > 0$  и  $\Delta \varphi_{i+2,i} > 0$ . Для выполнения последних условий в выражениях (2.3)–(2.4) следует взять верхние знаки.

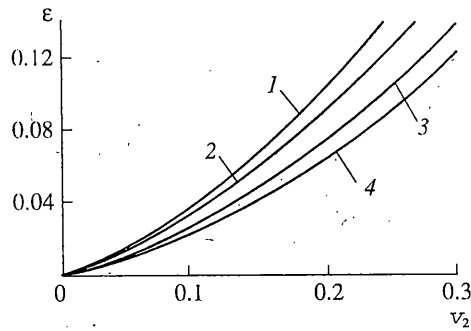
При  $i = 0$  приходим к схеме движения, изображенной на фиг. 1. В этом случае и параметры  $\varphi_0, x_0, \varepsilon_0, y_0, x'_0, y'_0$  равны нулю; нить первоначально не возмущена и не деформирована.

Рассматриваемая задача при  $i = 0$  приводится к решению следующих уравнений

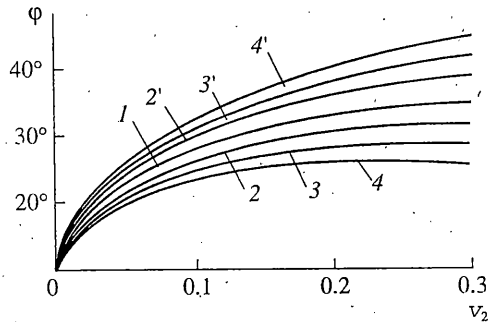
$$\operatorname{ctg} \varphi'_2 = \operatorname{ctg} \varphi_2 - 2 \operatorname{tg} \beta \quad (2.5)$$

$$\varepsilon_2 = (1 - \xi)^2 [1 - (1 - \xi)^2]^{-1} \quad (2.6)$$

$$v_2 = \frac{\xi(1 - \xi) \sin \varphi_2}{[1 - (1 - \xi)^2] \cos(\varphi_2 + \beta)} \quad (2.7)$$



Фиг. 3



Фиг. 4

$$\xi = \frac{2 \cos(\varphi_2 + \beta) \sin \varphi_2'}{\cos \beta (\sin \varphi_2' + \sin \varphi_2)} \quad (2.8)$$

Выражения (2.5)–(2.7) можно написать в виде алгебраического уравнения относительно искомых параметров  $\varepsilon_2 v_2$  или  $\varphi_2'$ . С другой стороны, эти уравнения представляют собой обратное решение задачи, удобное для теоретического анализа и ведения числовых расчетов.

**3. Схема и результаты численных расчетов.** Численные расчеты при  $i = 0$  ведутся следующим образом: задавая значения угла  $\varphi_2$  (для известных значений угла  $\beta$ ), из уравнения (2.5) определяются соответствующие значения угла  $\varphi_2'$ . Подставляя найденные таким способом значения углов  $\varphi_2$  и  $\varphi_2'$  в уравнения (2.6)–(2.7), определяются соответствующие значения скорости движения клина и деформация нити.

На фиг. 3, 4 приведены зависимости деформации  $\varepsilon_2$  и углов  $\varphi_2$  и  $\varphi_2'$  от скорости удара. Кривые 1–4 и 2'–4', значения  $\varepsilon_2$ ,  $\varphi_2$  и  $\varphi_2'$  получены при  $\beta = 0^\circ, 5^\circ, 10^\circ, 15^\circ$  соответственно.

Видно, что с ростом скорости удара клина деформация и угол излома нити возрастают. С ростом угла  $\beta$  угол  $\varphi_2'$  возрастает, а угол  $\varphi_2$  и деформация  $\varepsilon_2$  убывают.

Согласно принятой выше постановке задачи скорость движения клина скачкообразно возрастает от  $v_2$  при  $0 \leq t \leq \tau_2$  до  $v_{\max} = v_{i+2}$  при  $t \geq \tau_{i+2}$ .

В таблице приведены результаты числовых расчетов для случая  $\varphi_2 = 5^\circ$ ,  $\varphi_{i+2} - \varphi_i = 5^\circ$  и  $\beta = 10^\circ, 20^\circ, 30^\circ$  соответственно. Видно, что с увеличением угла  $\beta$  значения разности  $\varphi_{i+2} - \varphi_{i+2}$  увеличиваются.

#### СПИСОК ЛИТЕРАТУРЫ

1. *Рахматулин Х.А., Демьянов Ю.А.* Прочность при интенсивных кратковременных нагрузках. М.: Физматгиз, 1961. 399 с.
2. *Рахматулин Х.А.* О косом ударе по гибкой нити с большими скоростями при наличии трения // ПММ. 1945. Т. 9. Вып. 6. С. 449–462.
3. *Павленко А.Л.* О распространении разрывов в гибкой нити // Изв. АН СССР. ОТН. Механика и машиностроение. 1959. № 4. С. 112–122.
4. *Ленский Э.В.* Удар клином по упругой нити. Инж. ж. МТГ. 1968. № 2. С. 104–106.
5. *Максимов В.Ф.* Взаимодействие поперечной волны с геометрическим изломом линейно-упругой нити // Тр. кафедры газовой и волновой динамика МГУ. М.: Изд-во МГУ, 1975. Вып. 1. С. 116–120.
6. *Эргашов М.* Нормальный поперечный удар прямоугольным брусом по нити при наличии трения. // Изв. АН СССР. МТТ. 1991. № 3. С. 160–163.
7. *Эргашов М.* Исследование деформаций, возникающих при поперечном ударе прямоугольным брусом по нити // Изв. АН СССР. МТТ. 1987. № 1. С. 159–163.

Ташкент

Поступила в редакцию 21.III.1996